



# О применении искусственной вязкости в схемах типа Годунова для борьбы с «карбункул»-неустойчивостью

Родионов А.В., Тагирова И.Ю.

# Схема Годунова

- С.К. Годунов. “Разностный метод численного расчета разрывных решений уравнений гидродинамики”. *Математический сборник, 1959, т.47, №3, с.271-306.*

$$\mathbf{U}_i^{n+1} = \mathbf{U}_i^n - \frac{\Delta t}{\Delta x} [\mathbf{F}(\mathbf{U}_i^n, \mathbf{U}_{i+1}^n) - \mathbf{F}(\mathbf{U}_{i-1}^n, \mathbf{U}_i^n)]$$

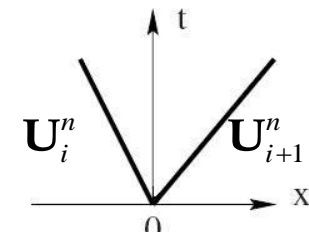
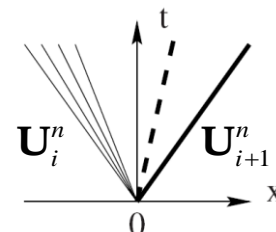
## Модификации повышенного порядка точности

- В.П. Колган. “Применение принципа минимальных значений производной к построению конечноразностных схем для расчёта разрывных решений газовой динамики”. *Ученые записки ЦАГИ, 1972.*
- B. van Leer. “Towards the ultimate conservative difference scheme. V. A second-order sequel to Godunov’s method”. *JCP, 1979.*  
*схема MUSCL*

## Методы приближенного решения задачи Римана

трехволновое  
приближение

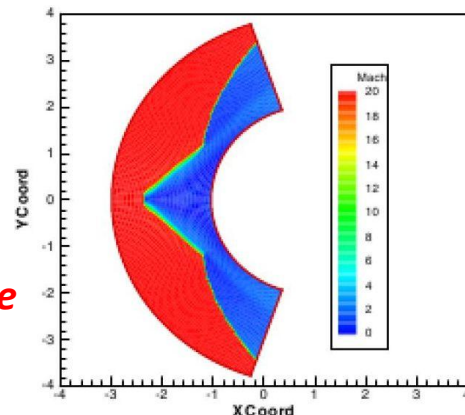
двухволновое  
приближение



# Моделирование гиперзвуковых течений: «carbuncle phenomenon»

*K.M. Peery, S.T. Imlay. "Blunt body flow simulations". AIAA Paper 88-2924, 1988.*

- *J.J. Quirk (1994); H.-C. Lin (1995); M. Abouzarov (1999); J. Gressier, J.-M. Moschetta (2000); M. Pandolfi , D. D'Ambrosio (2001); A.B. Карпов, Е.И. Васильев Е.И. (2002); S.-s. Kim, C. Kim, O.-H. Rho, S.K. Hong (2003); S.H. Park, J.H. Kwon (2003); Y.-X. Ren (2003); M. Dumbser, J.-M. Moschetta (2004); P. Roe, H. Nishikawa, F. Ismail, L. Scalabrin (2005); V. Elling (2006); J.A. Menart, S.J. Henderson (2008); H. Nishikawa, K. Kitamura (2008); K. Kitamura, P. Roe, F. Ismail (2009); C.Y. Loh, P.C.E. Jorgenson (2009); Y. Shen, G. Zha, M.A. Huerta (2011); K. Huang, H. Wu, H. Yu, D. Yan (2011), ...*
  - *B. van Leer. "The development of numerical fluid mechanics and aerodynamics since the 1960s: US and Canada". Notes on Num. Fluid Mech., Springer-Verlag, Berlin, 2009*
- "... greatest unresolved problem of classical finite-volume schemes ..."*



**«Карбункул»-явление - численная неустойчивость, возникающая при сквозном расчете сильных УВ в гиперзвуковых потоках; приводит к сильному искажению поля течения.**

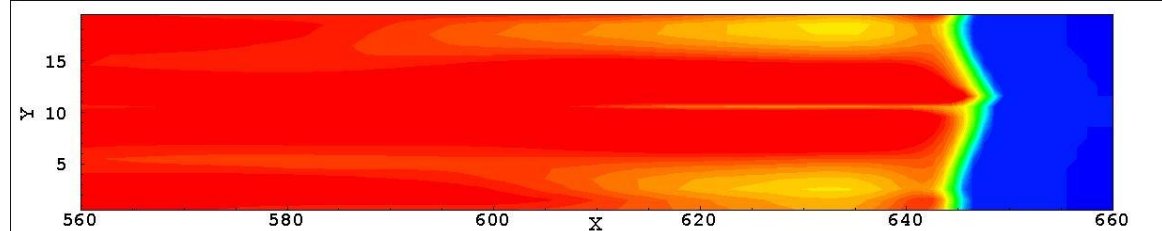
**Наиболее ярко карбункул-неустойчивость наблюдается, когда фронт ударной волны совпадает с сеточной линией (поверхностью) или немного отклонен от нее.**

### **О связи с методом решения задачи Римана**

- В более точных трехволновых методах (контактный разрыв) недостаточная диссипация в одном из направлений линий сетки может приводить к появлению «карбункула».**
- Менее точные двухволновые методы обычно дают приемлемые результаты, так как обладают большей диссипацией.**

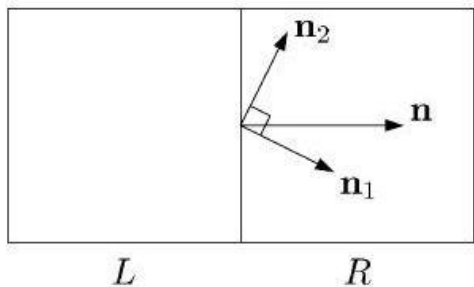
### **Задача Квирка:**

$$M_0 = 6; \quad I \times J = 800 \times 20 \quad (\Delta x = \Delta y = 1); \quad \hat{Y}_{i,10} = Y_{i,10} + (-1)^i \times 10^{-6}$$



## Методы борьбы с «карбункул»-неустойчивостью:

- **J.J. Quirk (1994).** Предложил комбинировать разные *Riemann solvers* в зависимости от локальных условий течения.
- **Y.-X. Ren (2003); H. Nishikawa, K. Kitamura (2008); Y. Shen, G. Zha, M.A. Huerta (2011); K. Huang, H. Wu, H. Yu, D. Yan (2011).** Предложили использовать «rotated» и «rotated-hybrid» *Riemann solvers* (декомпозиция нормали к боковой грани на два направления).



$$\mathbf{n}_1 = \frac{\mathbf{u}_R - \mathbf{u}_L}{\|\mathbf{u}_R - \mathbf{u}_L\|}$$

$$\mathbf{n}_1 \cdot \mathbf{n}_2 = 0$$

$$\mathbf{n} = \alpha_1 \mathbf{n}_1 + \alpha_2 \mathbf{n}_2$$

$$\mathbf{F}(\mathbf{n}) = \alpha_1 \mathbf{F}(\mathbf{n}_1) + \alpha_2 \mathbf{F}(\mathbf{n}_2)$$

$$\mathbf{F}(\mathbf{n}) = \alpha_1 \mathbf{F}^{HLL}(\mathbf{n}_1) + \alpha_2 \mathbf{F}^{Roe}(\mathbf{n}_2)$$

- **C.Y. Loh, P.C.E. Jorgenson (2009).** Предложили в схемах типа Годунова добавлять с весом сглаживание, напоминающее осреднение из схемы Лакса-Фридрихса.
- **A.B. Карпов, Е.И. Васильев Е.И. (2002);.** Предложили границы ячеек представлять в виде пилообразных ломаных линий (увеличение диссипации по всем направлениям).
- **J. Li, Q. Li, K. Xu (2011); T. Ohwada, R. Adachi, K. Xu, J. Luo (2013).** Газокинетические схемы, опирающиеся на решение уравнений Больцмана при вычислении потоков, не страдают «карбункул»-неустойчивостью, т.к. обладают большой диссипацией.

## Новый метод подавления «карбункул»-неустойчивости: искусственная вязкость

- На фронте УВ в базовый метод решения уравнений Эйлера добавляется некоторое количество диссипации в форме правых частей уравнений Навье-Стокса («вязких» членов).
- В «вязких» членах коэффициент физической (молекулярной) вязкости заменяется на коэффициент искусственной вязкости, а теплопроводность рассчитывается в предположении  $Pr = 1$ .
- Для коэффициента искусственной вязкости предлагается выражение, согласующееся с искусственной вязкостью Неймана-Рихтмайера, но с обобщением на многомерность и введением «пороговой» величины.
- Новый метод универсален - является внешним по отношению к конкретной схеме и не меняет алгоритм расчета «невязких» потоков.
- Новый метод тестируется на схеме Годунова и ее модификации второго порядка точности (схеме Годунова-Колгана-Родионова) с использованием точного решения задачи Римана.

## Искусственная вязкость в методах сквозного счета (1D case)

- *J. von Neumann, R.D. Richtmyer. Journal of Applied Physics, 1950.*

$$p \rightarrow p + q, \quad q = C\rho(\Delta u)^2 = C\rho(\Delta x)^2 \left( \frac{\partial u}{\partial x} \right)^2 \Rightarrow \text{NS(1D): } \mu = \frac{3}{4} C\rho(\Delta x)^2 \left| \frac{\partial u}{\partial x} \right|, \quad \text{Pr} = \infty$$

- *R. Landshoff. Technical Report of Los Alamos National Laboratory, 1955.*

$$q = C_1 \rho(\Delta u)^2 + C_2 \rho a |\Delta u| \Rightarrow \text{NS(1D): } \mu \sim \rho(\Delta x)^2 \left| \frac{\partial u}{\partial x} \right| + \rho \Delta x a, \quad \text{Pr} = \infty$$

- *В.Ф. Куропатенко. Труды Матем. ин-та им. В. А. Стеклова, 1966.*

$$q = \frac{\gamma+1}{4} \rho(\Delta u)^2 + \sqrt{\left( \frac{\gamma+1}{4} \rho(\Delta u)^2 \right)^2 + (\rho a \Delta u)^2} \Rightarrow \text{NS(1D) ...}$$

- *M.L. Wilkins. J. Comput. Phys., 1980.*  $q = \frac{\gamma+1}{2} \rho(\Delta u)^2 + \rho a |\Delta u|$

- *A. Lapidus. J. Comput. Phys., 1967.*

$$\mathbf{F} \rightarrow \mathbf{F} - C |\Delta u| \Delta \mathbf{U} \Rightarrow \frac{\partial \mathbf{U}}{\partial t} + \frac{\partial \mathbf{F}}{\partial x} = \frac{\partial}{\partial x} \left( D \frac{\partial \mathbf{U}}{\partial x} \right), \quad D = C(\Delta x)^2 \left| \frac{\partial u}{\partial x} \right|$$

**Уравнения Навье-Стокса (1D case):**

$$\frac{\partial \rho}{\partial t} + \frac{\partial \rho u}{\partial x} = 0; \quad \frac{\partial \rho u}{\partial t} + \frac{\partial \rho u^2}{\partial x} + \frac{\partial p}{\partial x} = \frac{\partial}{\partial x} \left( \frac{4}{3} \mu \frac{\partial u}{\partial x} \right) \equiv \frac{\partial \tau}{\partial x}; \quad \frac{\partial \rho E_0}{\partial t} + \frac{\partial \rho E_0 u}{\partial x} + \frac{\partial p u}{\partial x} = \frac{\partial}{\partial x} \left( \frac{\mu}{\text{Pr}} \frac{\partial h}{\partial x} \right) + \frac{\partial u \tau}{\partial x}$$

## Искусственная вязкость в многомерных расчетах

### □ Скалярная вязкость

$$\rho \frac{d\mathbf{u}}{dt} + \nabla(p + q) = 0, \quad q = C_1 \rho l^2 (\nabla \mathbf{u})^2 + C_2 \rho a l |\nabla \mathbf{u}|, \quad \text{если } \nabla \mathbf{u} < 0$$

$$\nabla \mathbf{u} = \frac{1}{V} \frac{dV}{dt} = \frac{1}{V} \oint \mathbf{u} \cdot d\mathbf{s}, \quad l - \text{характерный размер ячейки (в направлении УВ);}$$

### □ Тензорная вязкость

#### 1. W.D. Schulz. J. Math. Phys., 1964.

Комбинация «одномерных» вязостей, действующих независимо вдоль каждого из направлений сетки («одномерное» сжатие; несимметричность тензора).

#### 2. E. J. Caramana, M. J. Shashkov, and P. R. Whalen. J. Comput. Phys., 1998.

Желательно, чтобы искусственная вязкость по форме была приближена к физической вязости, однако есть проблемы с численной аппроксимацией.

#### 3. J. C. Campbell, M. J. Shashkov. LA-UR-00-2290, 2000.

$$\text{Вариант 1: } \tau_{ij} = \mu \left( \frac{\partial u_i}{\partial x_j} + \frac{\partial u_j}{\partial x_i} \right); \quad \text{Вариант 2: } \tau_{ij} = \mu \frac{\partial u_i}{\partial x_j}. \quad (\text{Pr} = \infty)$$

#### 4. J. C. Campbell, M. J. Shashkov. J. Comput. Phys., 2001.

**Уравнение движения вязкого газа (3D case):**  $\frac{\partial \rho u_i}{\partial t} + \frac{\partial \rho u_i u_j}{\partial x_j} + \frac{\partial p}{\partial x_i} = \frac{\partial \tau_{ij}}{\partial x_j}, \quad \tau_{ij} = \mu \left( \frac{\partial u_i}{\partial x_j} + \frac{\partial u_j}{\partial x_i} - \frac{2}{3} (\nabla \mathbf{u}) \delta_{ij} \right)$

## Искусственная вязкость в форме правых частей уравнений Н.-С.

$$\frac{\partial \rho}{\partial t} + \frac{\partial \rho u_j}{\partial x_j} = 0, \quad \frac{\partial \rho u_i}{\partial t} + \frac{\partial \rho u_i u_j}{\partial x_j} + \frac{\partial p}{\partial x_i} = \frac{\partial \tau_{ij}}{\partial x_j}, \quad \frac{\partial \rho E_0}{\partial t} + \frac{\partial \rho E_0 u_j}{\partial x_j} + \frac{\partial p u_j}{\partial x_j} = \frac{\partial q_j}{\partial x_j} + \frac{\partial u_i \tau_{ij}}{\partial x_j}$$

$$\tau_{ij} = \mu \left( \frac{\partial u_i}{\partial x_j} + \frac{\partial u_j}{\partial x_i} - \frac{2}{3} (\nabla \mathbf{u}) \delta_{ij} \right), \quad q_j = \frac{\mu}{Pr} \frac{\partial h}{\partial x_j}$$

*где*

$$\mu \equiv \mu_{AV} = \begin{cases} C_1 \rho l^2 (|\nabla \mathbf{u}| - C_2 a / l), & \text{если } -\nabla \mathbf{u} > C_2 a / l \\ 0, & \text{если } -\nabla \mathbf{u} \leq C_2 a / l \end{cases}, \quad Pr = 1$$

$C_1 = 0.5, \quad C_2 = 0.02$  – коэффициенты;

$a$  – скорость звука;

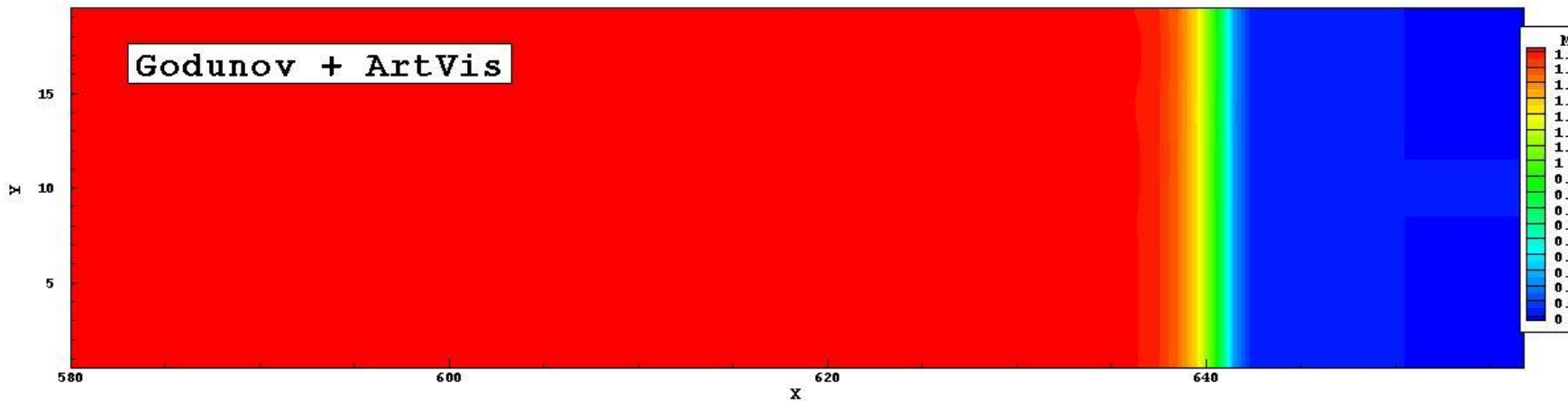
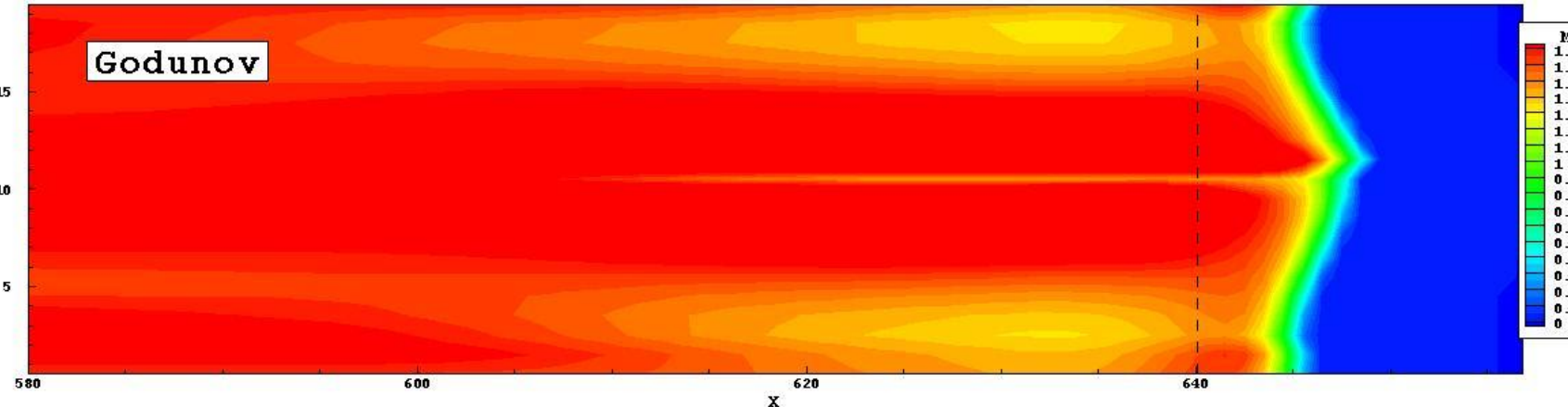
$l = \left( \frac{V^2}{S_i^2 + S_j^2} \right)^{1/2}$  – характерный размер ячейки;

$V$  – объем ячейки;

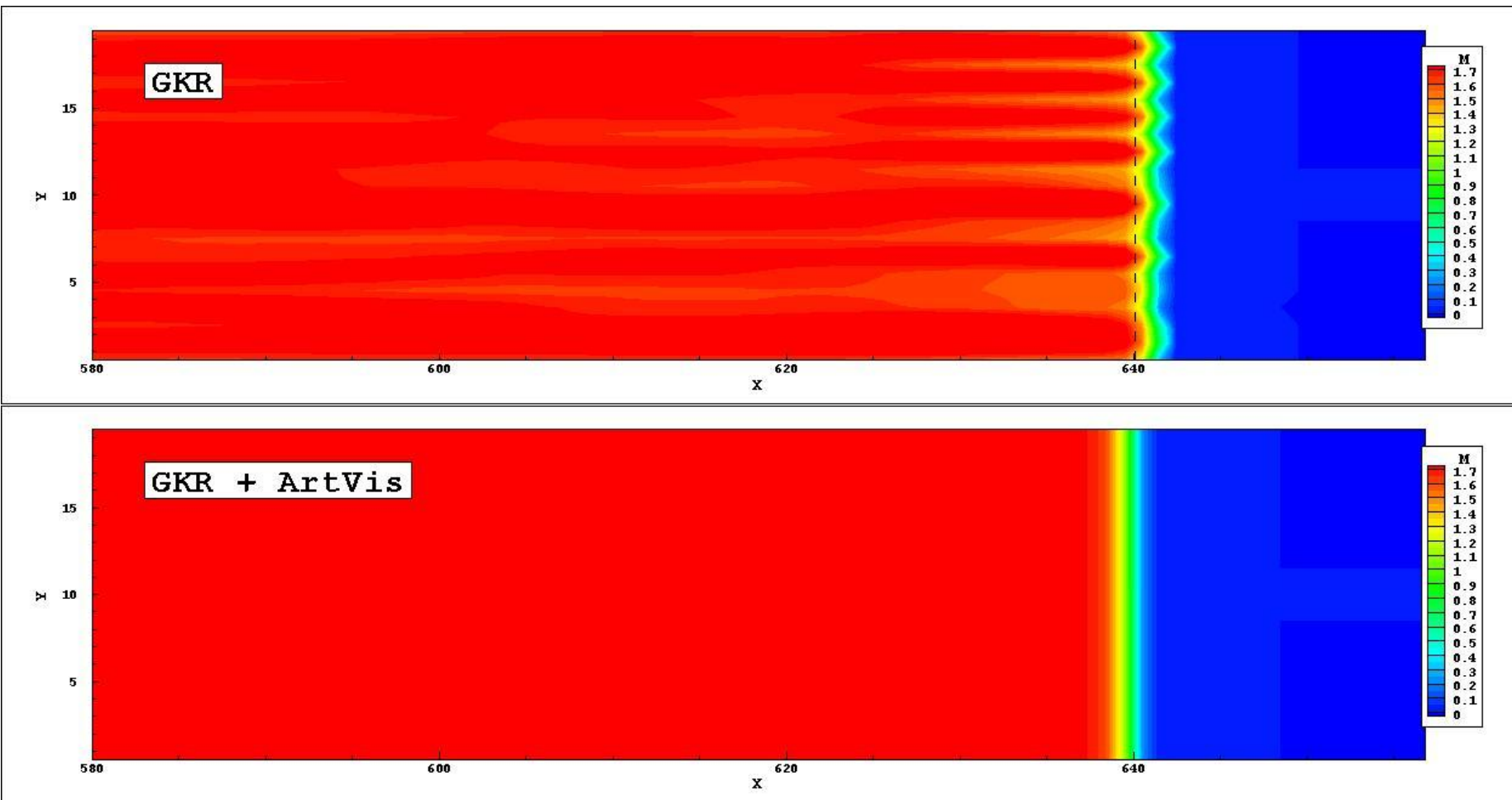
$S_i, S_j$  – площади боковых граней ячейки для двух направлений сетки;

(для квадратной сетки  $C_1 l^2 = 0.25 h^2$ )

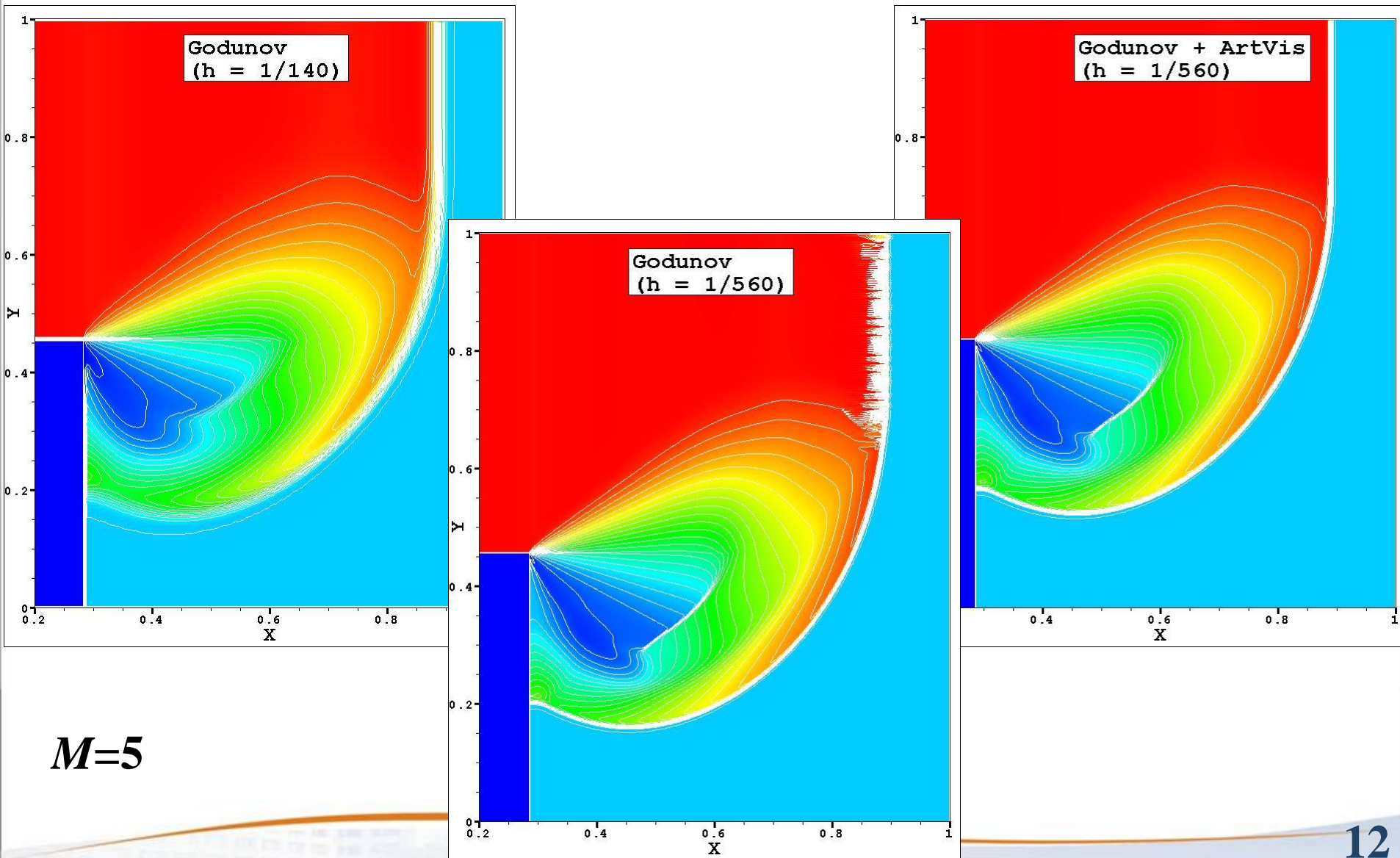
## Задача Квирка (1)



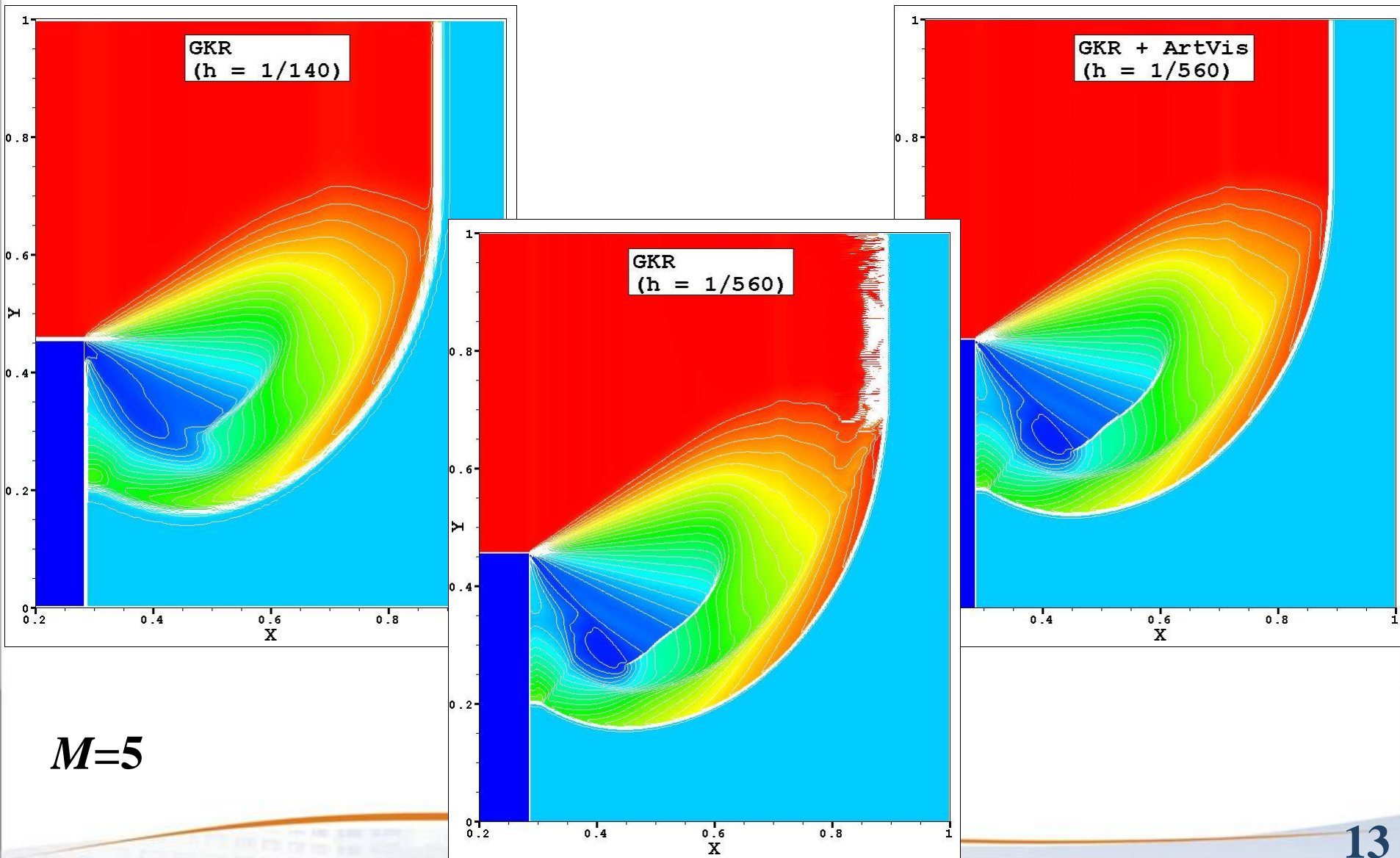
## Задача Квирка (2)



## Дифракция сильной ударной волны на 90°-ном угле (1)



## Дифракция сильной ударной волны на 90°-ном угле (2)



## Задача Ноха (1)

$$\gamma = 5/3,$$

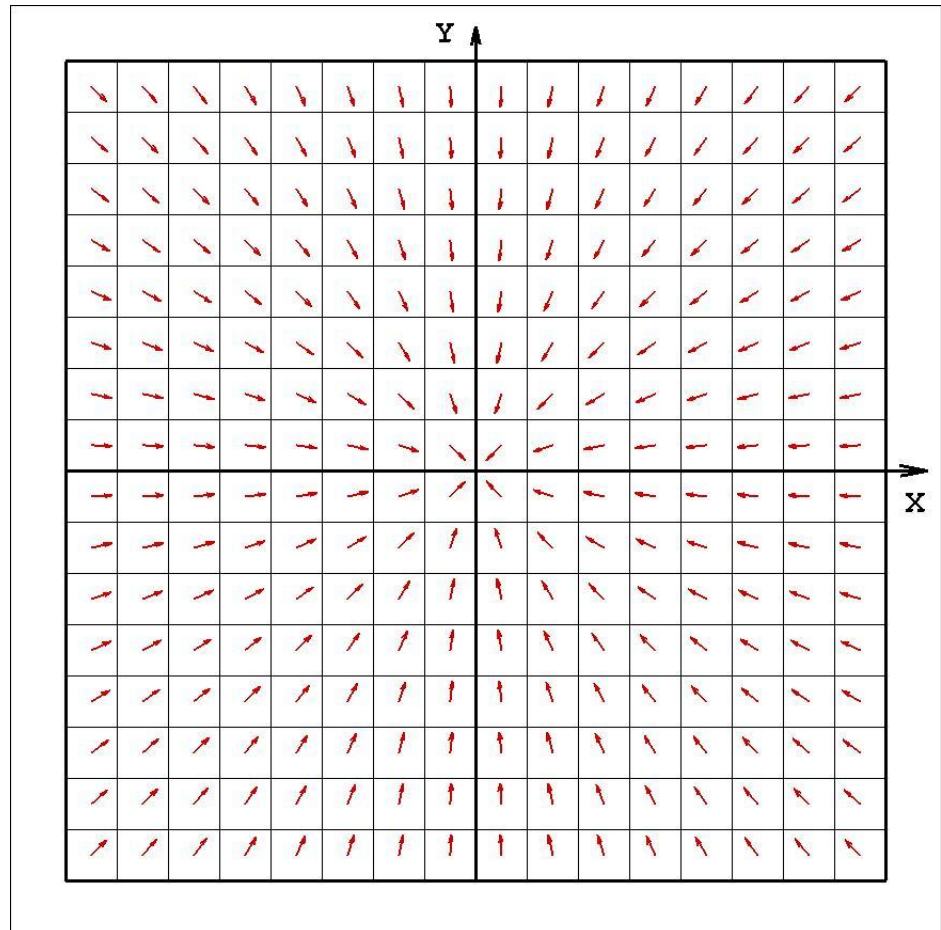
$$|\mathbf{u}| = 1,$$

$$\rho = 1,$$

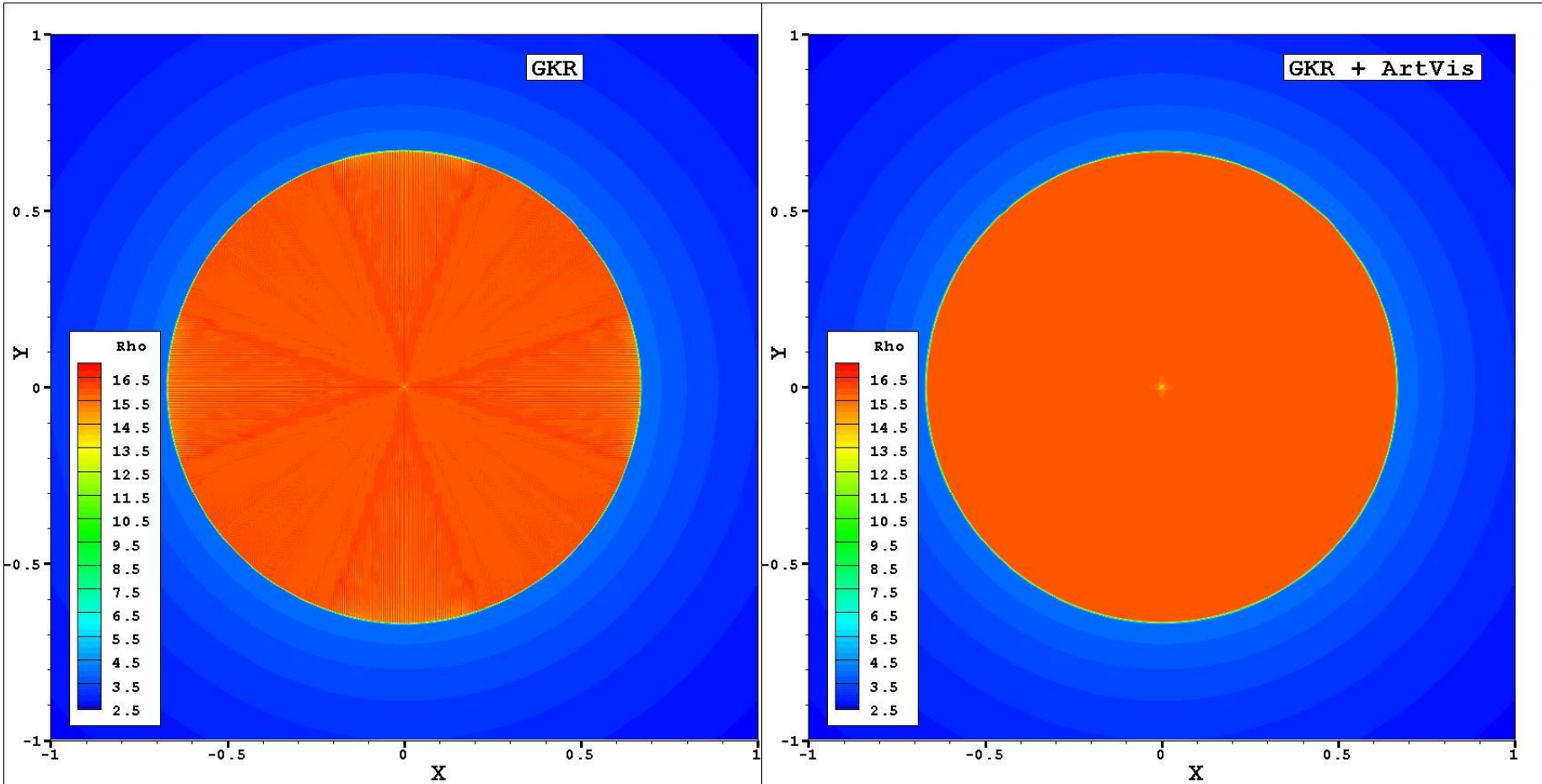
$$p = 0.$$

$$\mathbf{X} \times \mathbf{Y} = [-1, 1] \times [-1, 1]$$

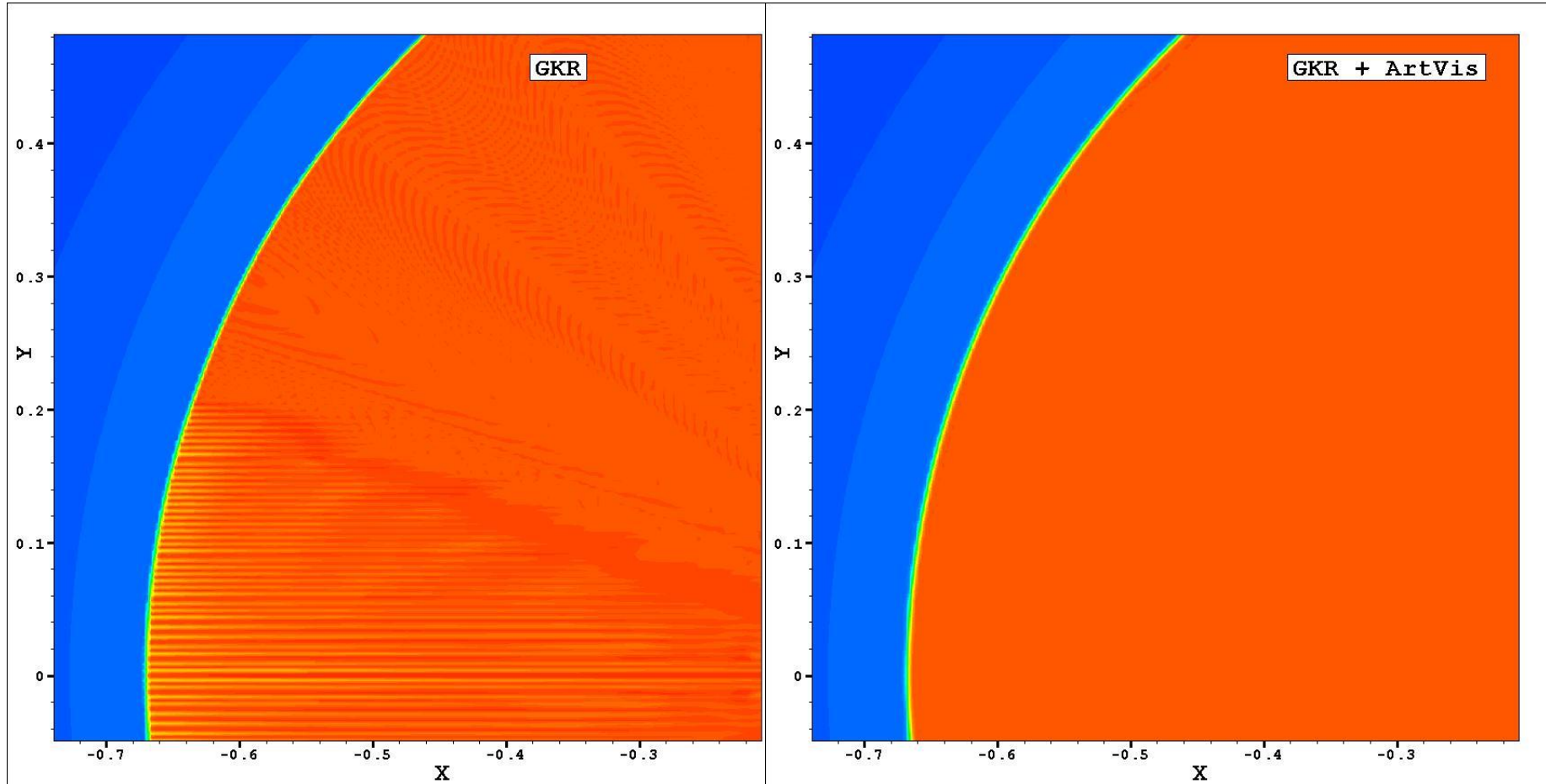
$$I \times J = 400 \times 400$$



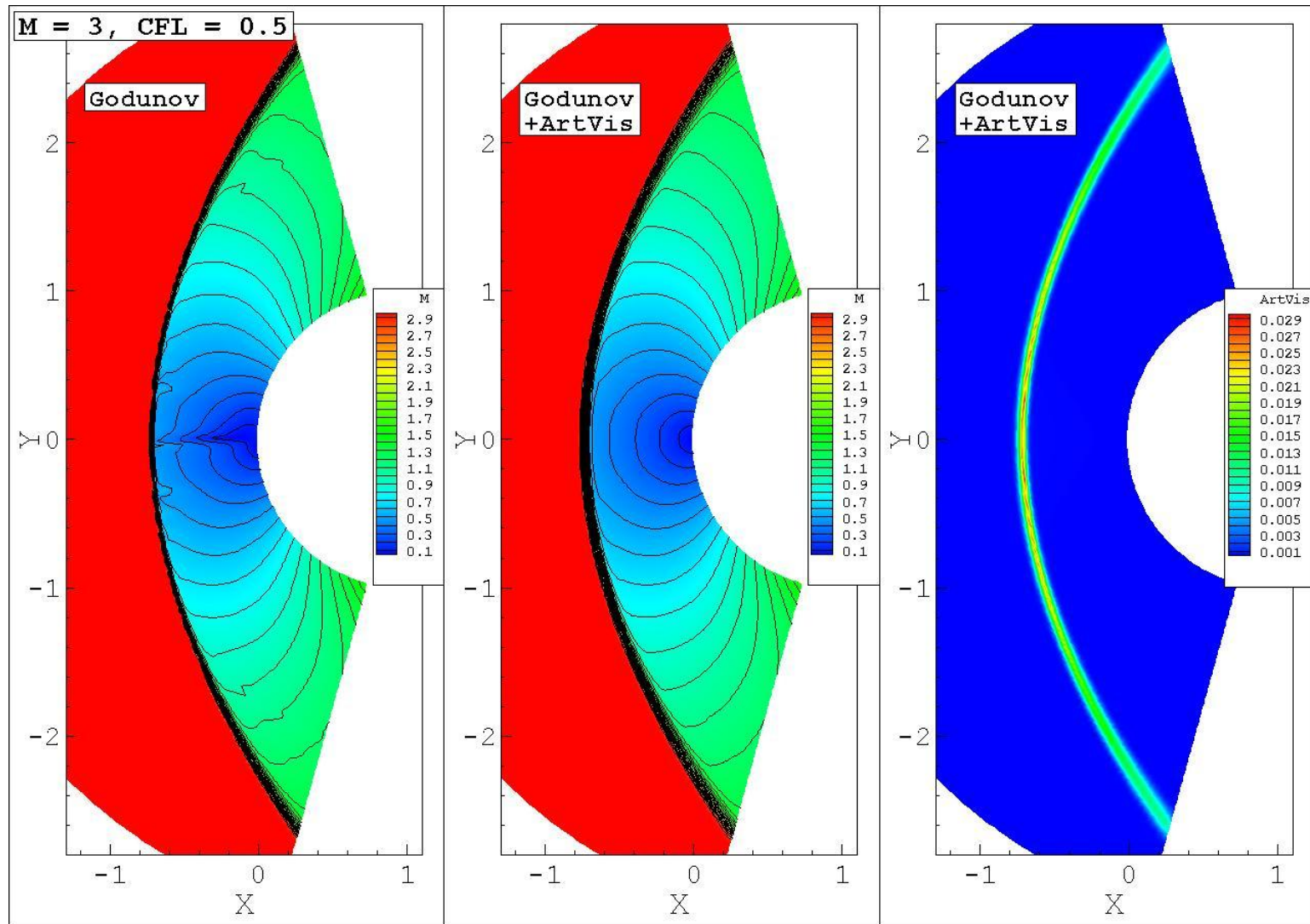
## Задача Ноха (3)



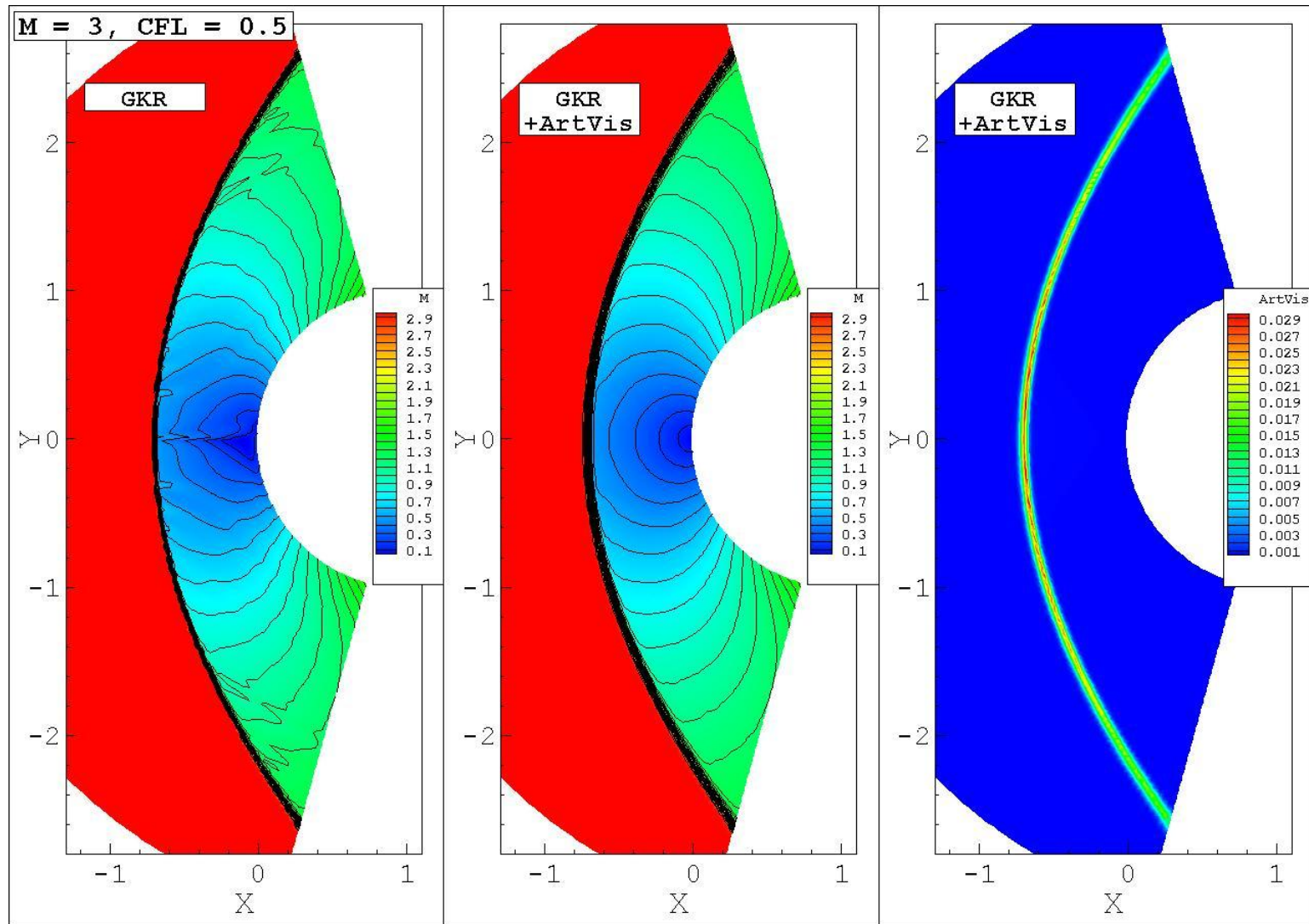
## Задача Ноха (4)



## Обтекание цилиндра сверхзвуковым потоком (1)

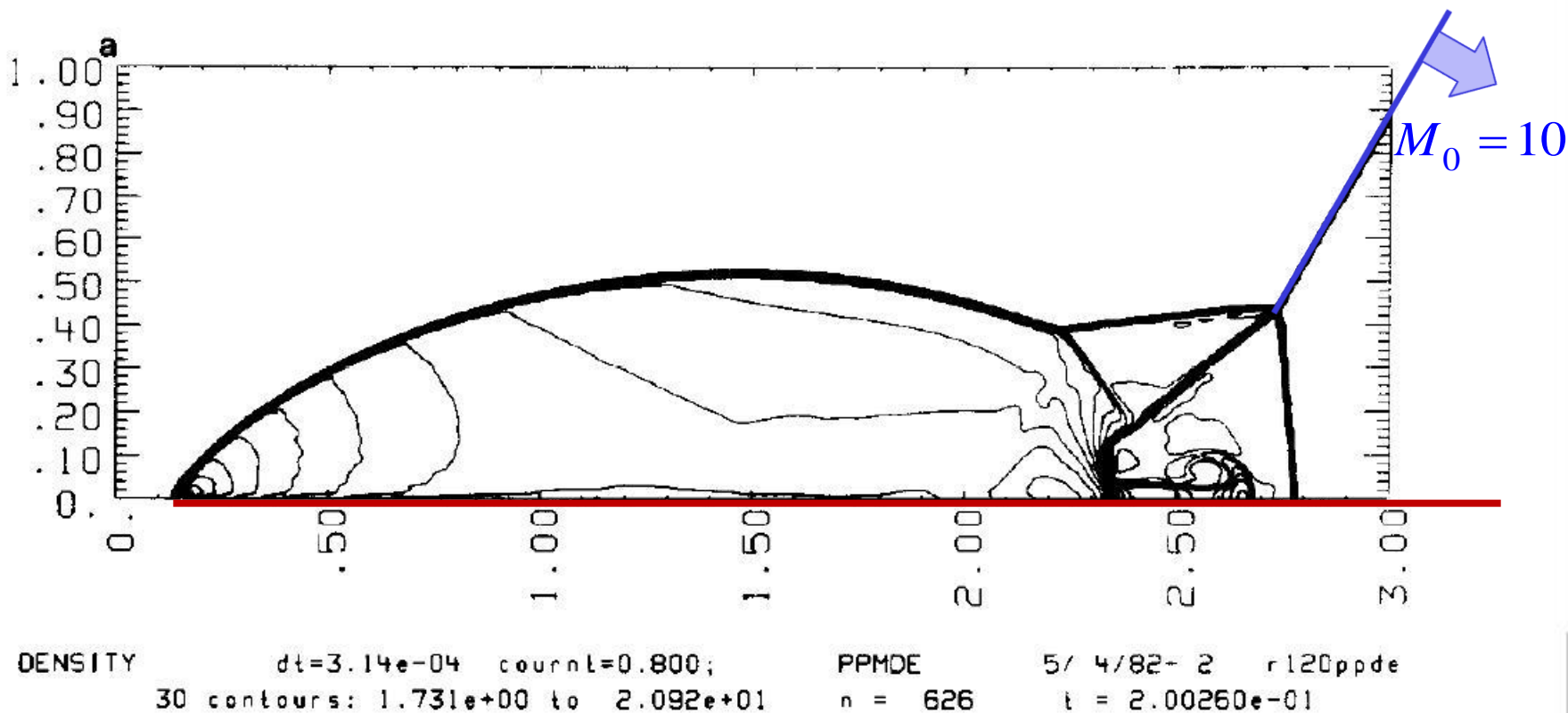


## Обтекание цилиндра сверхзвуковым потоком (2)

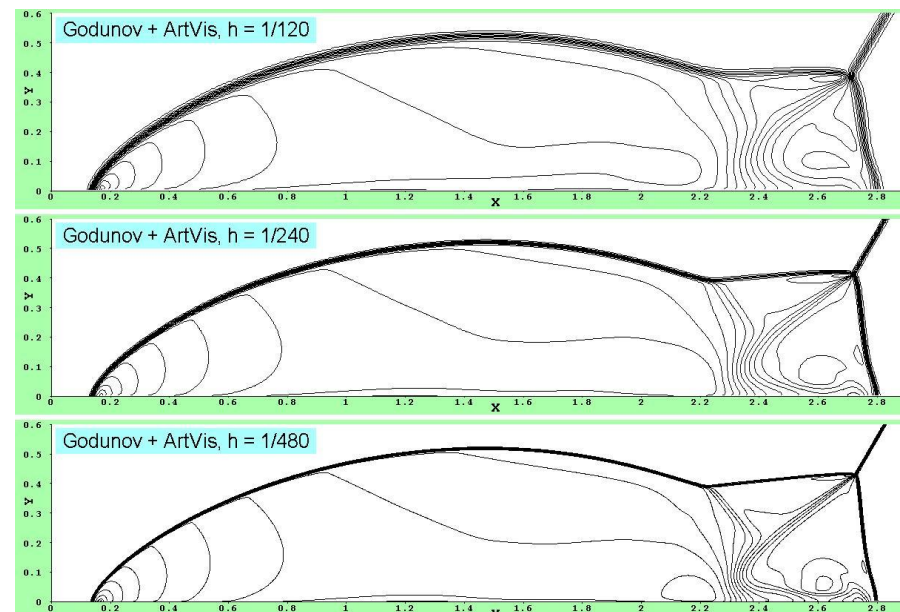
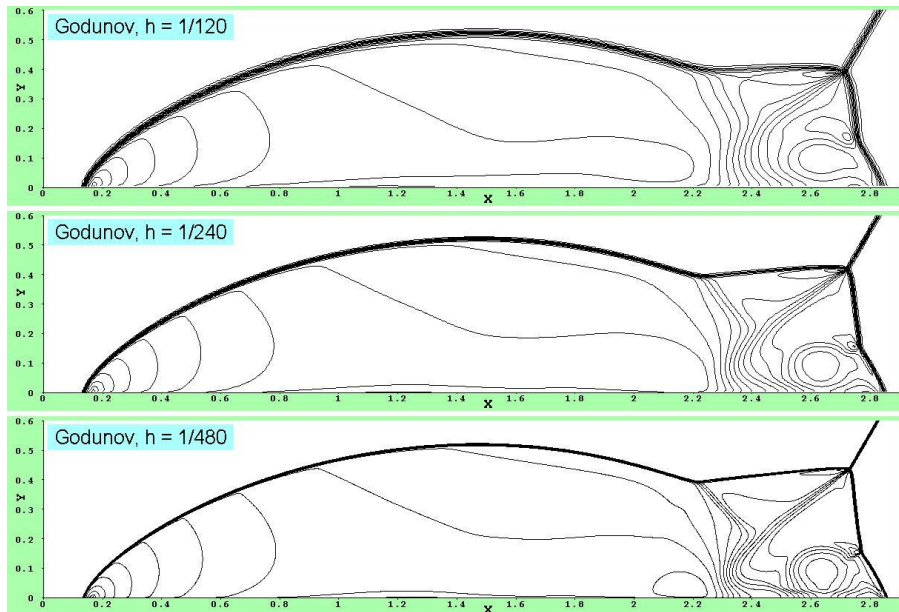


## Двойное маховское отражение (1)

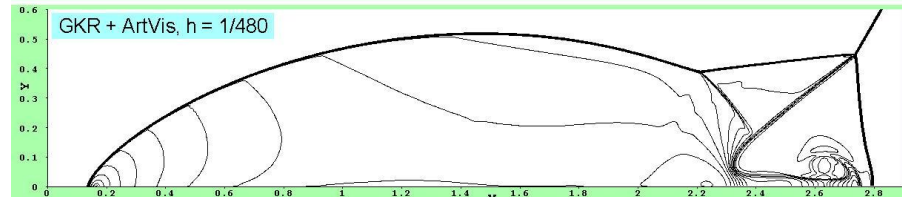
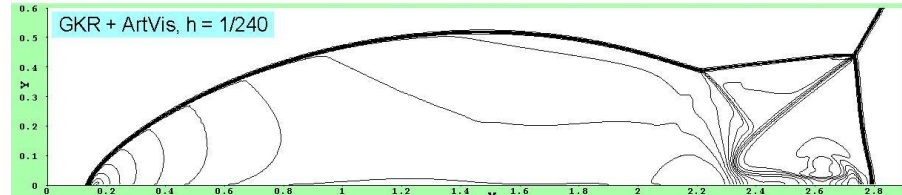
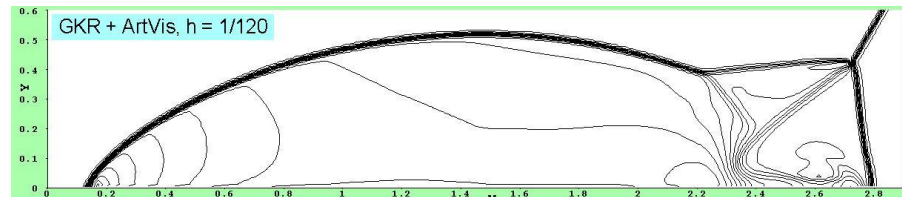
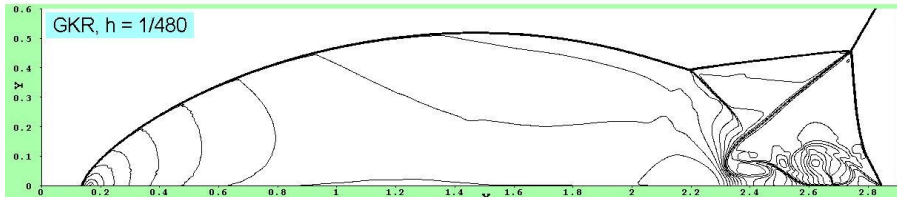
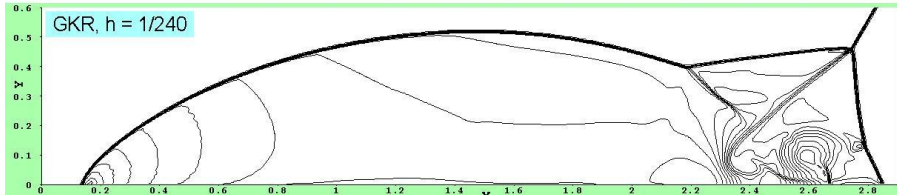
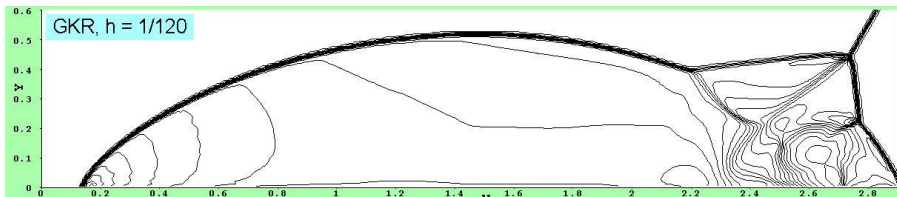
- *P. Woodward, P. Colella. "The numerical simulation of two-dimensional fluid flow with strong shocks". Journal of Computational Physics, 1984, v.54, p.115–173.*



## Двойное маховское отражение (2)



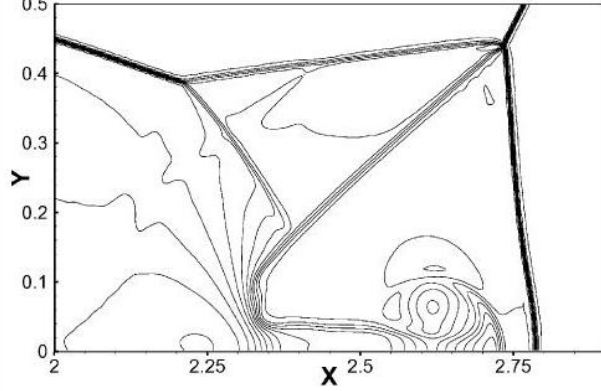
## Двойное маховское отражение (3)



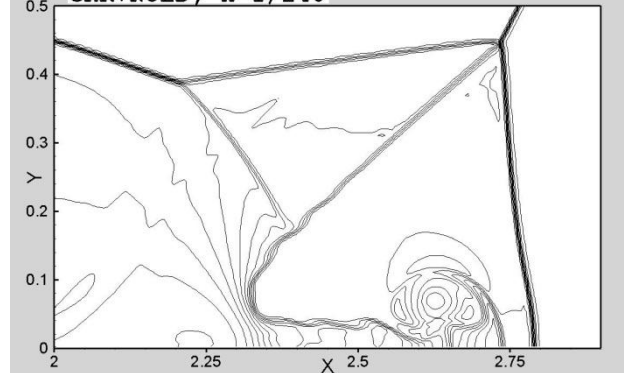
## Двойное маховское отражение (4)

- *J. Shi, Y.-T. Zhang, C.-T. Shu. "Resolution of high order WENO schemes for complicated flow structures". Journal of Computational Physics, 2003, v.186, p.690–696.*

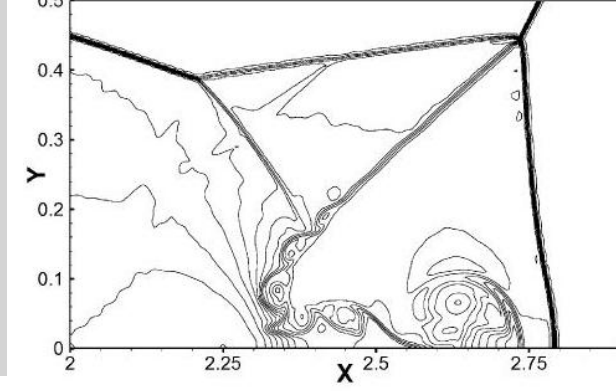
WENO5,  $h=1/240$



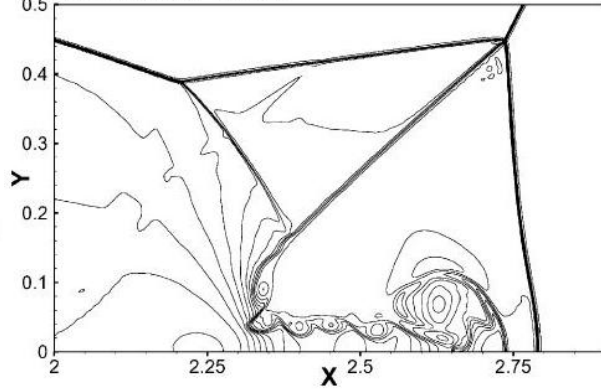
GKR+NOLD,  $h=1/240$



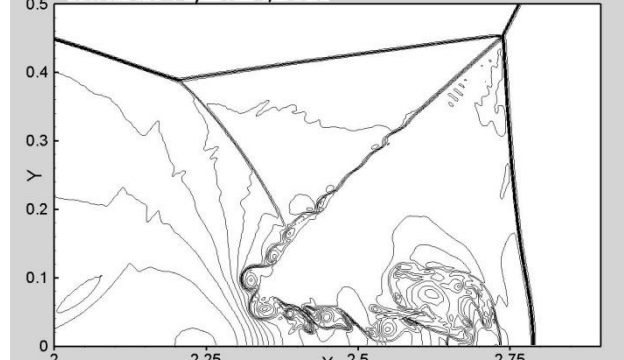
WENO9,  $h=1/240$



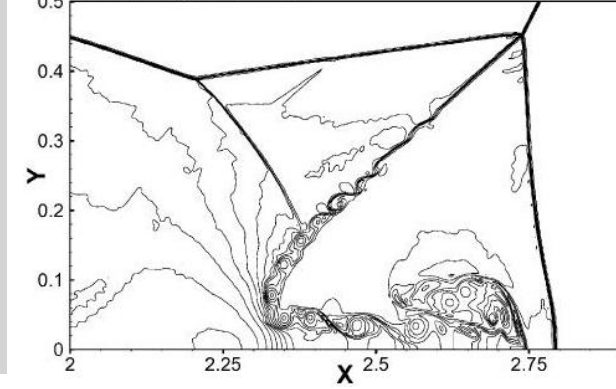
WENO5,  $h=1/480$



GKR+NOLD,  $h=1/480$



WENO9,  $h=1/480$



**СПАСИБО  
ЗА ВНИМАНИЕ!**